



ANEXO

PAPEL DE COX-2 EN LA EXPRESIÓN HEPÁTICA DE ELONGASAS Y DESATURASAS

Trabajo Final de Grado

Grado en Biotecnología

Curso académico 2014-2015

Autora: ***Marina Sánchez Petidier***

Tutora: ***Dña. María Adelaida García Gimeno***

Directora experimental: ***Dña. Marta Casado Pinna***



Valencia, Septiembre 2015

FIGURAS

Figura 1. *Representación de diagrama Box and Whisker de los niveles de expresión de Elovl 5 en células NCL-V, NCL-COX2 C1 y NCL-COX2 C3.*

Figura 2. *Representación de diagrama Box and Whisker de los niveles de expresión de Elovl 6 en células NCL-V, NCL-COX2 C1 y NCL-COX2 C3.*

Figura 3. *Representación de diagrama Box and Whisker de los niveles de expresión de Scd 1 en células NCL-V y NCL-COX2.*

Figura 4. *Representación de diagrama Box and Whisker de los niveles de expresión de Scd 2 en células NCL-V y NCL-COX2.*

Figura 5. *Representación de diagrama Box and Whisker de los niveles de expresión de Pla2g16 en células NCL-V y NCL-COX2.*

Figura 6. *Representación de diagrama Box and Whisker de los niveles de expresión de Pld 1 en células NCL-V y NCL-COX2.*

Elovl 5

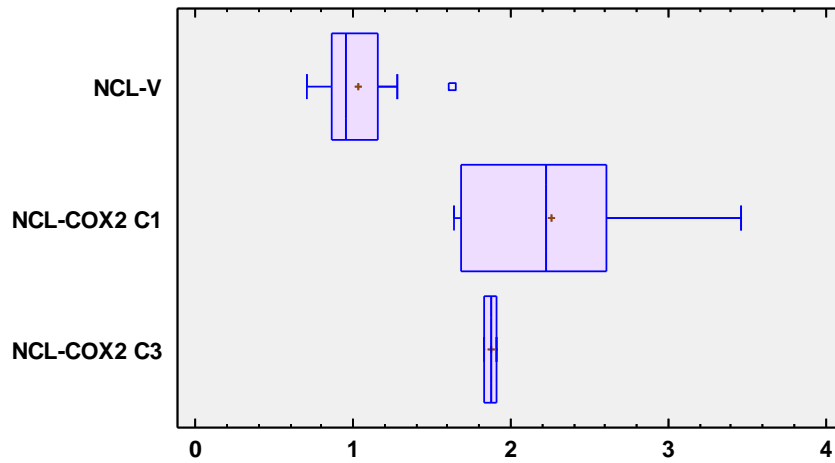


Figura 1. Representación de diagrama Box and Whisker de los niveles de expresión de Elovl 5 células NCL-V, NCL-COX2 C1 y NCL-COX2 C3. Datos analizados utilizando el método $2^{-\Delta\Delta C^t}$. Fuente: elaboración propia en Statgraphics Centurion XVII.

Elovl 6

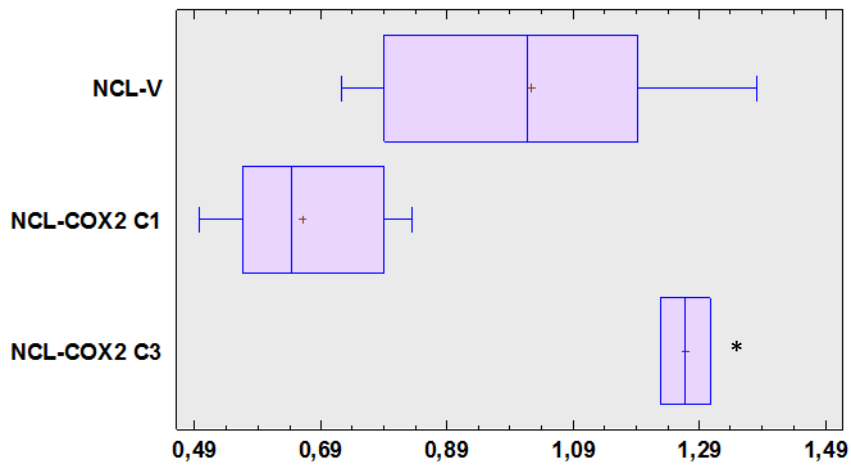


Figura 2. Representación de diagrama Box and Whisker de los niveles de expresión de Elovl 6 en células NCL-V, NCL-COX2 C1 y NCL-COX2 C3. * p -valor < 0.05 con respecto de NCL-V, utilizando el estadístico t de Student suponiendo varianzas desiguales. Datos analizados utilizando el método $2^{-\Delta\Delta C^t}$. Fuente: elaboración propia en Statgraphics Centurion XVII.

Scd 1

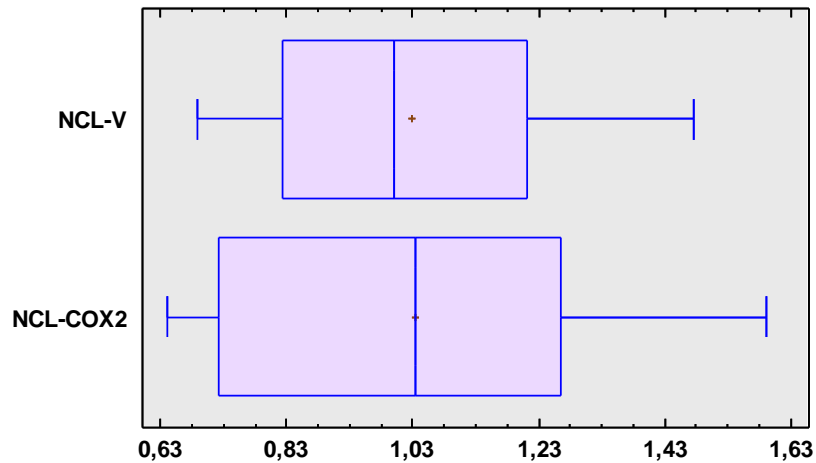


Figura 3. Representación de diagrama Box and Whisker de los niveles de expresión de Scd 1 en células NCL-V y NCL-COX2. Presenta un nivel de significación de $0,976921 > 0,05$ a un nivel de confianza del 95% para la t de Student y de $0,958116 > 0,05$ a un nivel de confianza del 95% para la W de Mann-Whitney. Datos analizados utilizando el método $2^{-\Delta\Delta C^t}$. Fuente: elaboración propia en Statgraphics Centurion XVII.

Scd 2

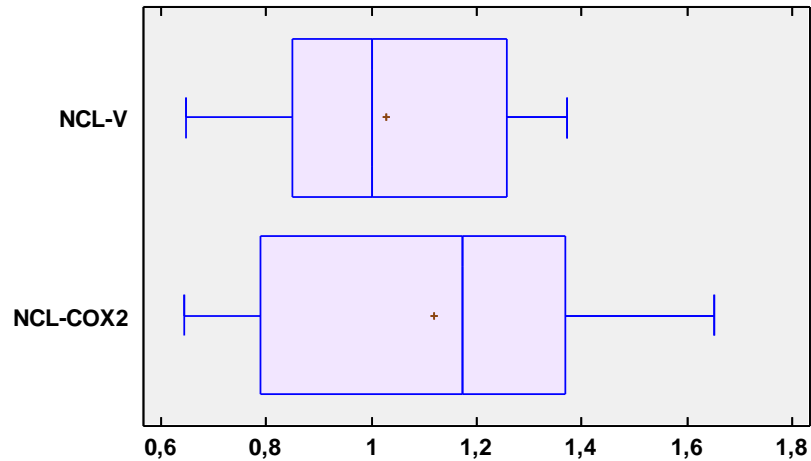


Figura 4. Representación de diagrama Box and Whisker de los niveles de expresión de Scd 2 en células NCL-V y NCL-COX2. Presenta un nivel de significación de $0,5681 > 0,05$ a un nivel de confianza del 95% para la t de Student y de $0,636499 > 0,05$ a un nivel de confianza del 95% para la W de Mann-Whitney. Datos analizados utilizando el método $2^{-\Delta\Delta C^t}$. Fuente: elaboración propia en Statgraphics Centurion XVII.

Pla2g16

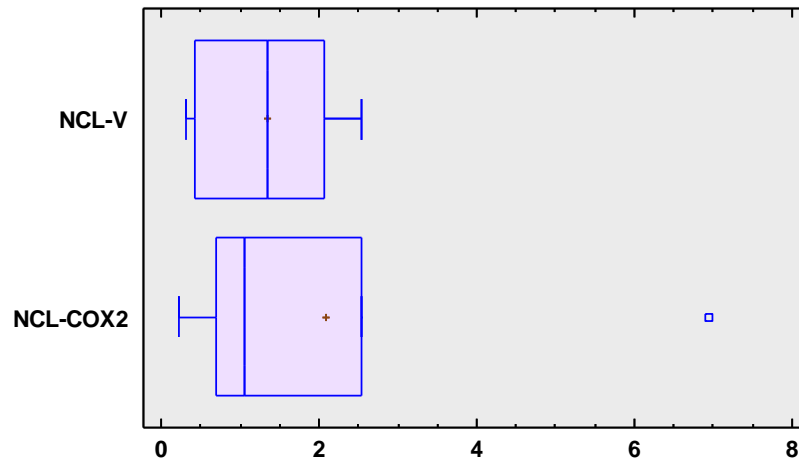


Figura 5. Representación de diagrama Box and Whisker de los niveles de expresión de Pla2g16 en células NCL-V y NCL-COX2. Presenta un nivel de significación de $0,511514 > 0.05$ a un nivel de confianza del 95% para la *t* de Student y de $0,810177 > 0.05$ a un nivel de confianza del 95% para la *W* de Mann-Whitney. Datos analizados utilizando el método $2^{-\Delta\Delta C^t}$. Fuente: elaboración propia en Statgraphics Centurion XVII.

Pld 1

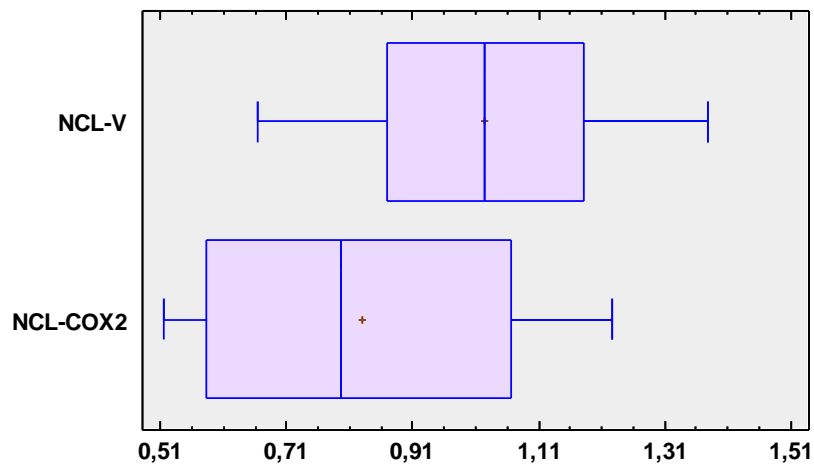


Figura 6. Representación de diagrama Box and Whisker de los niveles de expresión de Pld 1 en células NCL-V y NCL-COX2. Presenta un nivel de significación de $0,143906 > 0.05$ a un nivel de confianza del 95% para la *t* de Student y de $0,156253 > 0.05$ a un nivel de confianza del 95% para la *W* de Mann-Whitney. Datos analizados utilizando el método $2^{-\Delta\Delta C^t}$. Fuente: elaboración propia en Statgraphics Centurion XVII.